

Динамический анализ механизмов двухступенчатого воздушного компрессора

Исходные данные:

| | | | | |
|----------------------------|------------------------------|--|----------------------------|-------------------------------|
| $V_{\text{ср}} := 4$ | $\frac{\text{м}}{\text{с}}$ | средняя скорость поршня | $\frac{g}{\omega} := 9.81$ | $\frac{\text{м}}{\text{с}^2}$ |
| $d_1 := 0.2$ | м | диаметр цилиндра 1 | | |
| $d_2 := 0.12$ | м | диаметр цилиндра 2 | | |
| $n_1 := 10$ | $\frac{\text{об}}{\text{с}}$ | число оборотов коленчатого вала | | |
| $P_{\text{max1}} := 0.294$ | МПа | максимальное давление в цилиндре 1 двигателя | | |
| $P_{\text{max2}} := 0.882$ | МПа | максимальное давление в цилиндре 2 двигателя | | |
| $m_2 := 0.8$ | кг | масса шатуна 2 | | |
| $m_4 := 0.8$ | кг | масса шатуна 4 | | |
| $m_3 := 0.6$ | кг | масса поршня 3 | | |
| $m_5 := 1$ | кг | масса поршня 5 | | |
| $J_{2S} := 0.21$ | $\text{кг} \cdot \text{м}^2$ | момент инерции шатуна 2 относительно оси, проходящей через его центр тяжести | | |
| $J_{4S} := 0.21$ | $\text{кг} \cdot \text{м}^2$ | момент инерции шатуна 4 относительно оси, проходящей через его центр тяжести | | |
| $J_{\text{ред}} := 0.074$ | $\text{кг} \cdot \text{м}^2$ | приведенный к коленчатому валу момент инерции планетарного редуктора | | |
| $J_{10} := 0.6$ | $\text{кг} \cdot \text{м}^2$ | момент инерции коленчатого вала | | |
| $k := 4$ | | отношение длины шатуна к длине кривошипа | | |
| $k_{S2} := 0.3$ | | отношение расстояния от точки А до центра тяжести шатуна 3 к длине шатуна | | |
| $k_{S4} := 0.3$ | | отношение расстояния от точки А до центра тяжести шатуна 4 к длине шатуна | | |
| $\delta_1 := 0.05$ | | коэффициент неравномерности вращения кривошипа 1 | | |

1. Проектирование механизма

1.1. Определение длин звеньев механизма

$$\begin{aligned}l_1 &:= \frac{V_{\text{ср}}}{n_1 \cdot 4} & l_1 &= 0.1 & \text{длина коленчатого вала} \\l_2 &:= l_1 \cdot k & l_2 &= 0.4 & \text{длина шатуна 2} \\l_4 &:= l_1 \cdot k & l_4 &= 0.4 & \text{длина шатуна 4} \\l_{AS2} &:= l_2 \cdot k_{S2} & l_{AS2} &= 0.12 & \text{положение центра тяжести шатуна 2} \\l_{AS4} &:= l_4 \cdot k_{S4} & l_{AS4} &= 0.12 & \text{положение центра тяжести шатуна 4} \\ \omega_{1\text{ср}} &:= 2 \cdot \pi \cdot n_1 & \omega_{1\text{ср}} &= 62.832 & \text{средняя угловая скорость коленчатого вала}\end{aligned}$$

2. Вычисление передаточных функций механизма

2.1. Функции положения

$$f := 75\text{deg}$$

$$\varphi_1(\varphi) := \frac{\pi}{2} - \varphi$$

$$X_A(\varphi) := l_1 \cdot \cos(\varphi_1(\varphi))$$

$$Y_A(\varphi) := l_1 \cdot \sin(\varphi_1(\varphi))$$

$$\varphi_2(\varphi) := \text{asin}\left(\frac{X_A(\varphi)}{l_2}\right)$$

$$\varphi_4(\varphi) := -\text{asin}\left(\frac{Y_A(\varphi)}{l_4}\right)$$

$$X_B(\varphi) := X_A(\varphi) - l_2 \cdot \sin(\varphi_2(\varphi))$$

$$Y_B(\varphi) := Y_A(\varphi) + l_2 \cdot \cos(\varphi_2(\varphi))$$

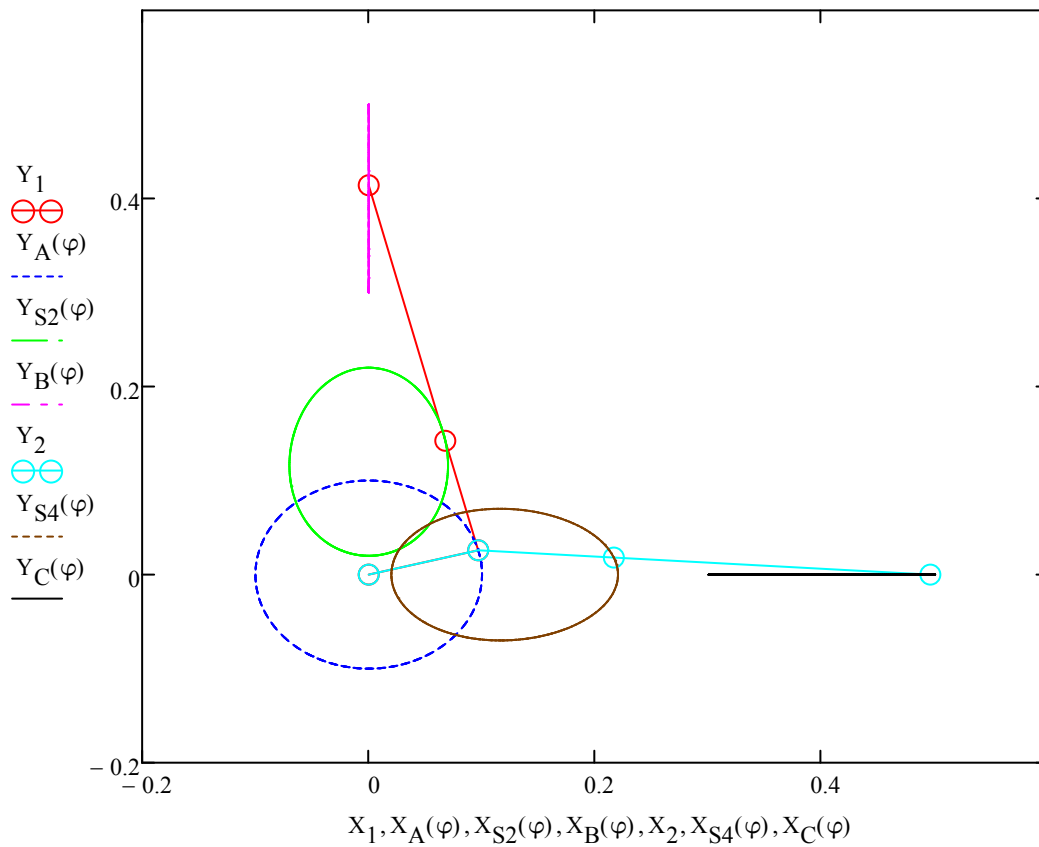
$$X_{S2}(\varphi) := X_A(\varphi) - l_{AS2} \cdot \sin(\varphi_2(\varphi))$$

$$Y_{S2}(\varphi) := Y_A(\varphi) + l_{AS2} \cdot \cos(\varphi_2(\varphi))$$

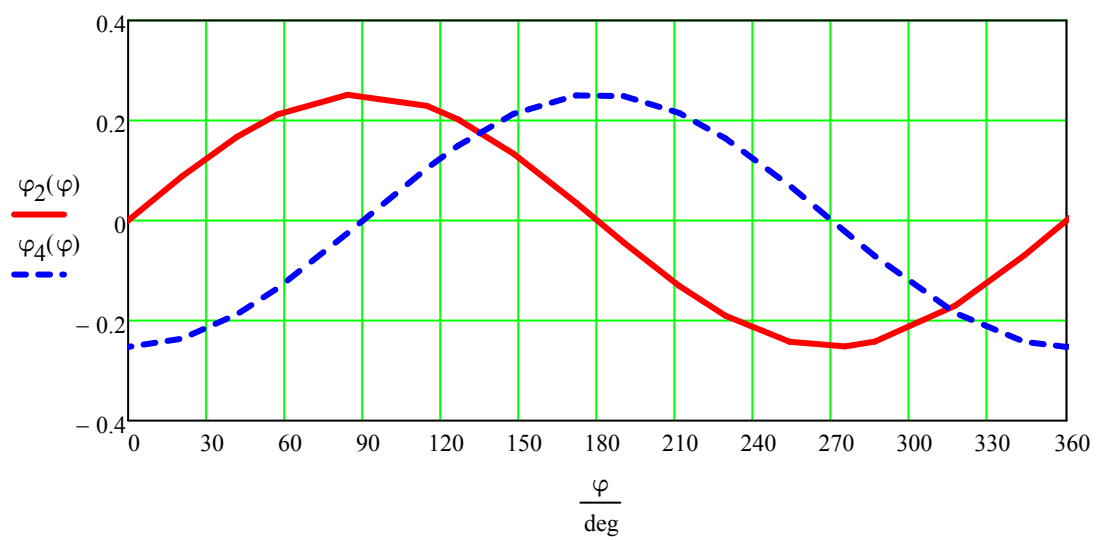
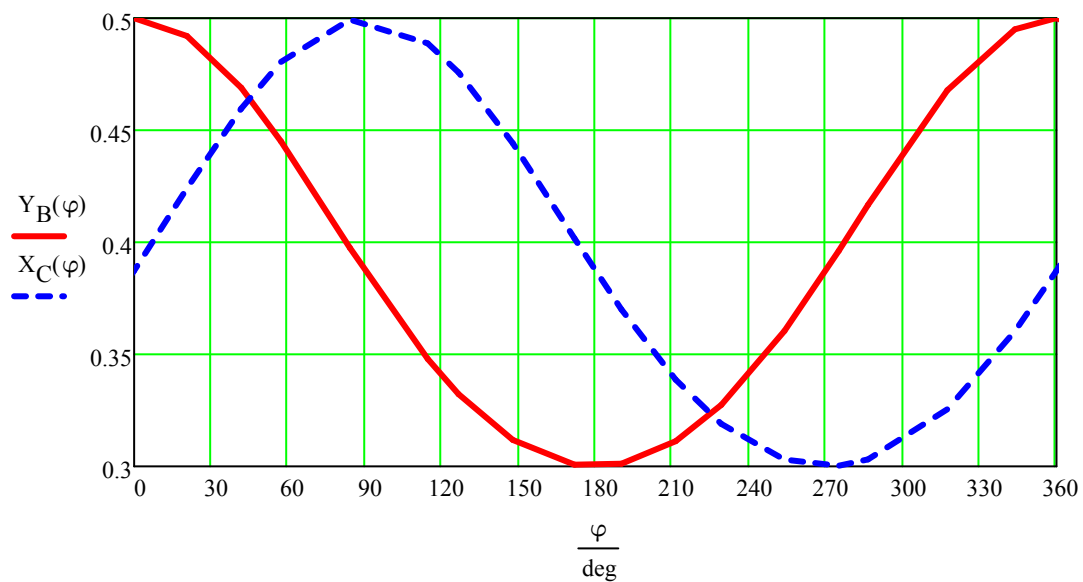
$$\begin{aligned}
 X_C(\varphi) &:= X_A(\varphi) + l_4 \cdot \cos(\varphi_4(\varphi)) \\
 Y_C(\varphi) &:= Y_A(\varphi) + l_4 \cdot \sin(\varphi_4(\varphi)) \\
 X_{S4}(\varphi) &:= X_A(\varphi) + l_{AS2} \cdot \cos(\varphi_4(\varphi)) \\
 Y_{S4}(\varphi) &:= Y_A(\varphi) + l_{AS2} \cdot \sin(\varphi_4(\varphi))
 \end{aligned}$$

Построим кинематическую схему механизма в заданном положении и определим траектории точек:

$$X_1 := \begin{pmatrix} 0 \\ X_A(f) \\ X_{S2}(f) \\ X_B(f) \end{pmatrix} \quad Y_1 := \begin{pmatrix} 0 \\ Y_A(f) \\ Y_{S2}(f) \\ Y_B(f) \end{pmatrix} \quad X_2 := \begin{pmatrix} 0 \\ X_A(f) \\ X_{S4}(f) \\ X_C(f) \end{pmatrix} \quad Y_2 := \begin{pmatrix} 0 \\ Y_A(f) \\ Y_{S4}(f) \\ Y_C(f) \end{pmatrix}$$



Построим графики функций положения:



2.2. Кинематические передаточные функции скорости (аналоги скоростей):

$$V_{qAx}(\varphi) := \frac{d}{d\varphi} X_A(\varphi)$$

$$V_{qAy}(\varphi) := \frac{d}{d\varphi} Y_A(\varphi)$$

$$V_{qBx}(\varphi) := \frac{d}{d\varphi} X_B(\varphi) \quad V_{qS2x}(\varphi) := \frac{d}{d\varphi} X_{S2}(\varphi)$$

$$V_{qBy}(\varphi) := \frac{d}{d\varphi} Y_B(\varphi) \quad V_{qS2y}(\varphi) := \frac{d}{d\varphi} Y_{S2}(\varphi) \quad V_{qBx}(f) = 0$$

$$V_{qCx}(\varphi) := \frac{d}{d\varphi} X_C(\varphi) \quad V_{qS4x}(\varphi) := \frac{d}{d\varphi} X_{S4}(\varphi)$$

$$V_{qCy}(\varphi) := \frac{d}{d\varphi} Y_C(\varphi) \quad V_{qS4y}(\varphi) := \frac{d}{d\varphi} Y_{S4}(\varphi)$$

$$V_{qA}(\varphi) := \sqrt{V_{qAx}(\varphi)^2 + V_{qAy}(\varphi)^2} \quad V_{qA}(f) = 0.1$$

$$V_{qB}(\varphi) := \sqrt{V_{qBx}(\varphi)^2 + V_{qBy}(\varphi)^2} \quad V_{qB}(f) = 0.103$$

$$V_{qC}(\varphi) := \sqrt{V_{qCx}(\varphi)^2 + V_{qCy}(\varphi)^2} \quad V_{qC}(f) = 0.032$$

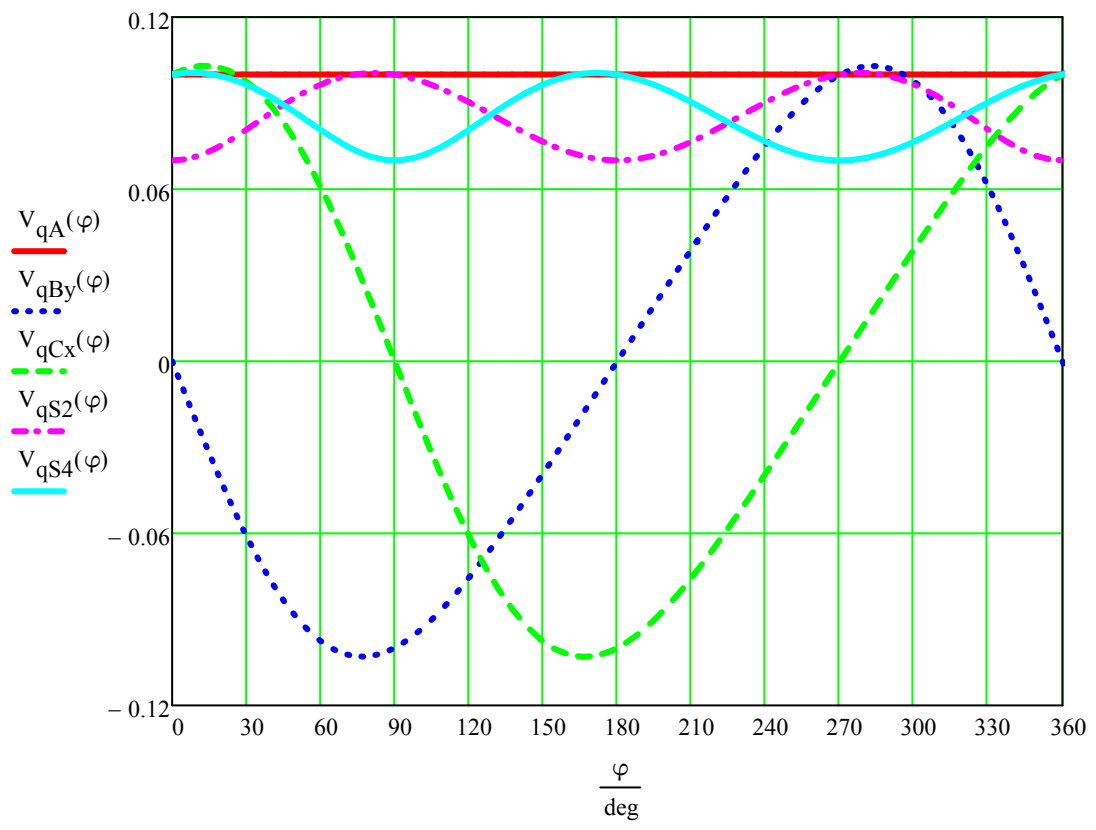
$$V_{qS2}(\varphi) := \sqrt{V_{qS2x}(\varphi)^2 + V_{qS2y}(\varphi)^2} \quad V_{qS2}(f) = 0.1$$

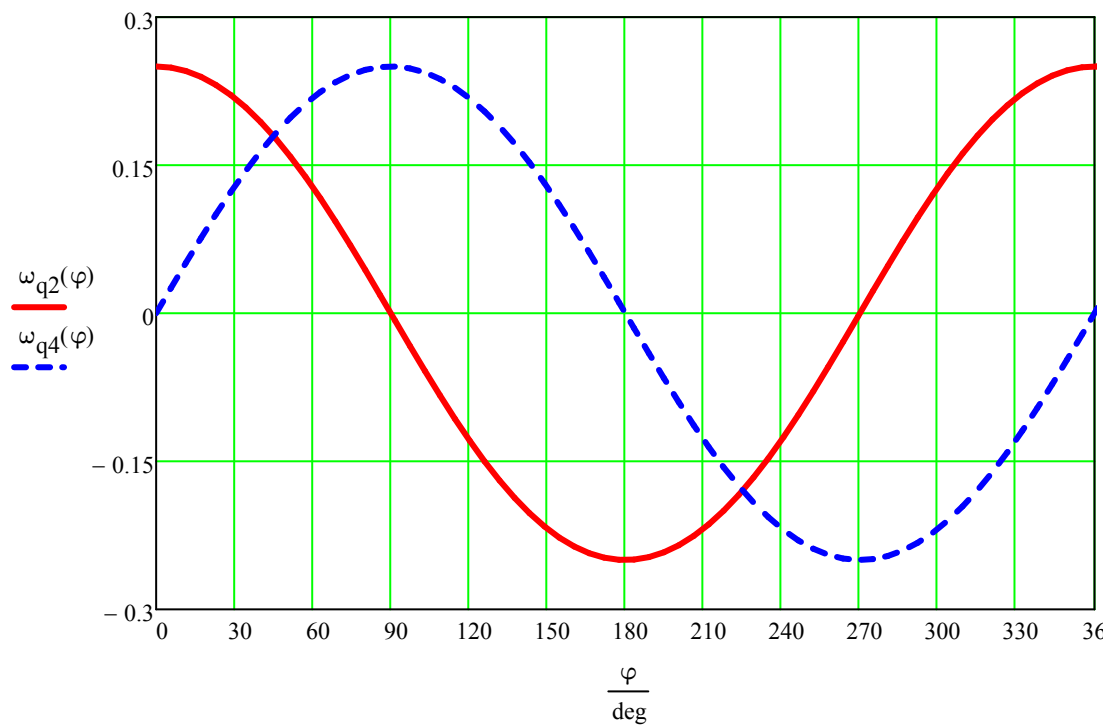
$$V_{qS4}(\varphi) := \sqrt{V_{qS4x}(\varphi)^2 + V_{qS4y}(\varphi)^2} \quad V_{qS4}(f) = 0.073$$

$$\omega_{q2}(\varphi) := \frac{d}{d\varphi} \varphi_2(\varphi) \quad \omega_{q2}(f) = 0.067$$

$$\omega_{q4}(\varphi) := \frac{d}{d\varphi} \varphi_4(\varphi) \quad \omega_{q4}(f) = 0.242$$

$$\varphi := 0, 0.1..2 \cdot \pi + 2$$





2.3. Кинематические передаточные функции ускорения(аналоги ускорений):

$$a_{qAx}(\varphi) := \frac{d^2}{d\varphi^2} X_A(\varphi)$$

$$a_{qAy}(\varphi) := \frac{d^2}{d\varphi^2} Y_A(\varphi)$$

$$a_{qBx}(\varphi) := \frac{d^2}{d\varphi^2} X_B(\varphi) \quad a_{qS2x}(\varphi) := \frac{d^2}{d\varphi^2} X_{S2}(\varphi)$$

$$a_{qBy}(\varphi) := \frac{d^2}{d\varphi^2} Y_B(\varphi) \quad a_{qS2y}(\varphi) := \frac{d^2}{d\varphi^2} Y_{S2}(\varphi)$$

$$a_{qC_x}(\varphi) := \frac{d^2}{d\varphi^2} X_C(\varphi) \quad a_{qS4_x}(\varphi) := \frac{d^2}{d\varphi^2} X_{S4}(\varphi)$$

$$a_{qC_y}(\varphi) := \frac{d^2}{d\varphi^2} Y_C(\varphi) \quad a_{qS4_y}(\varphi) := \frac{d^2}{d\varphi^2} Y_{S4}(\varphi)$$

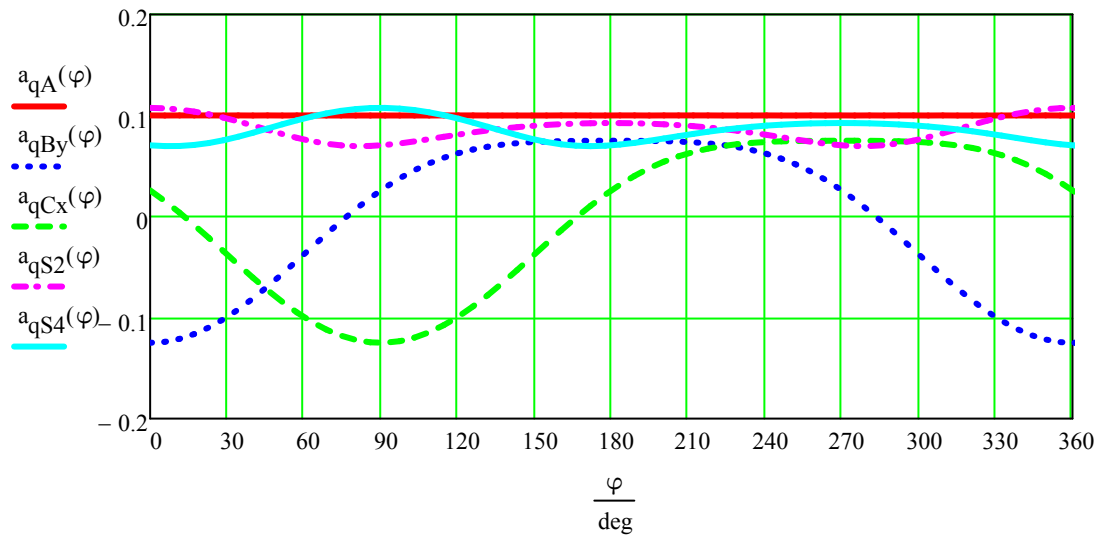
$$\varepsilon_{q2}(\varphi) := \frac{d}{d\varphi} \omega_{q2}(\varphi) \quad \varepsilon_{q2}(f) = -0.248$$

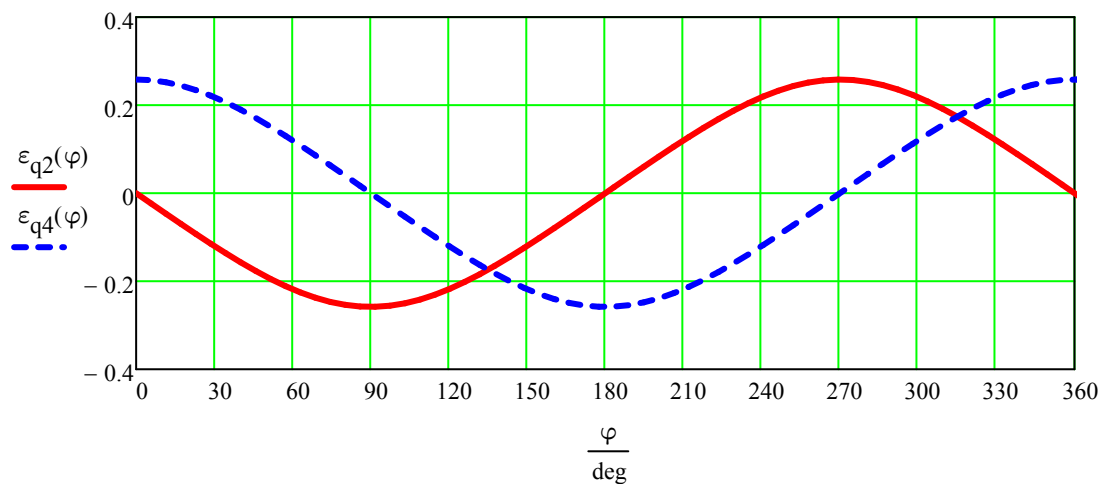
$$\varepsilon_{q4}(\varphi) := \frac{d}{d\varphi} \omega_{q4}(\varphi) \quad \varepsilon_{q4}(f) = 0.061$$

$$a_{qA}(\varphi) := \sqrt{a_{qA_x}(\varphi)^2 + a_{qA_y}(\varphi)^2}$$

$$a_{qS2}(\varphi) := \sqrt{a_{qS2_x}(\varphi)^2 + a_{qS2_y}(\varphi)^2}$$

$$a_{qS4}(\varphi) := \sqrt{a_{qS4_x}(\varphi)^2 + a_{qS4_y}(\varphi)^2}$$





3. Динамическая модель механизма

3.1. Приведение масс

3.1.1. Определим приведенные моменты инерции:

$$J_{PRJ2}(\varphi) := J_{2S} \cdot \omega_{q2}(\varphi)^2$$

$$J_{PRJ4}(\varphi) := J_{4S} \cdot \omega_{q4}(\varphi)^2$$

$$J_{PRm2}(\varphi) := m_2 \cdot \left(V_{qS2}(\varphi) \cdot \cos\left(\frac{\pi}{4}\right) \right)^2$$

$$J_{PRm4}(\varphi) := m_4 \cdot \left(V_{qS4}(\varphi) \cdot \cos\left(\frac{\pi}{4}\right) \right)^2$$

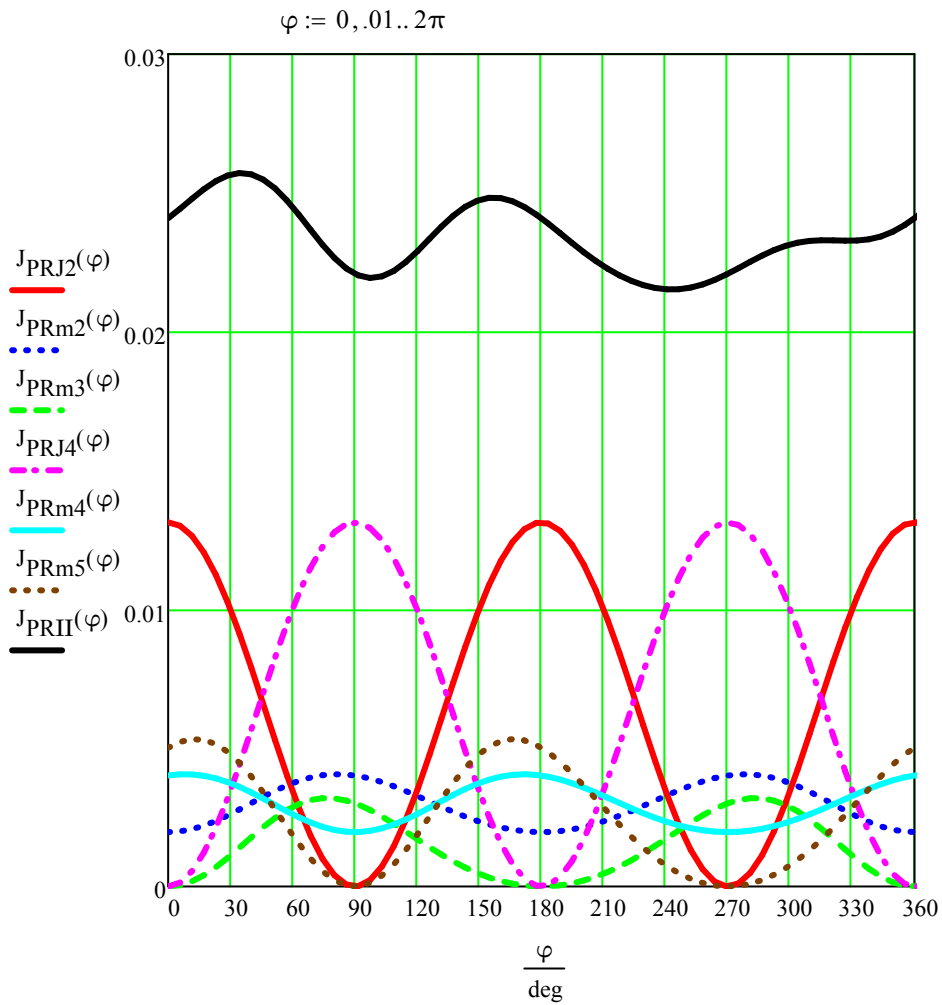
$$J_{PRm3}(\varphi) := m_3 \cdot \left(V_{qBy}(\varphi) \cdot \cos\left(\frac{\pi}{4}\right) \right)^2$$

$$J_{PRm5}(\varphi) := m_5 \cdot \left(V_{qCx}(\varphi) \cdot \cos\left(\frac{\pi}{4}\right) \right)^2$$

Приведенный момент второй группы звеньев:

$$J_{PRII}(\varphi) := J_{PRJ2}(\varphi) + J_{PRm2}(\varphi) + J_{PRm3}(\varphi) + J_{PRJ4}(\varphi) + J_{PRm4}(\varphi) + J_{PRm5}(\varphi) \quad J_{PRII}(f) = 0.0$$

$$J_{PRII}(f) = 0.023$$



3.1.2. Определим производные приведенных моментов инерции

$$dJ_{PRJ2}(\varphi) := 2 \cdot J_{2S} \cdot \omega_{q2}(\varphi) \cdot \varepsilon_{q2}(\varphi)$$

$$dJ_{PRM2}(\varphi) := 2 \cdot m_2 \cdot (V_{qS2x}(\varphi) \cdot a_{qS2x}(\varphi) + V_{qS2y}(\varphi) \cdot a_{qS2y}(\varphi))$$

$$dJ_{PRM3}(\varphi) := 2 \cdot m_3 \cdot V_{qBy}(\varphi) \cdot a_{qBy}(\varphi)$$

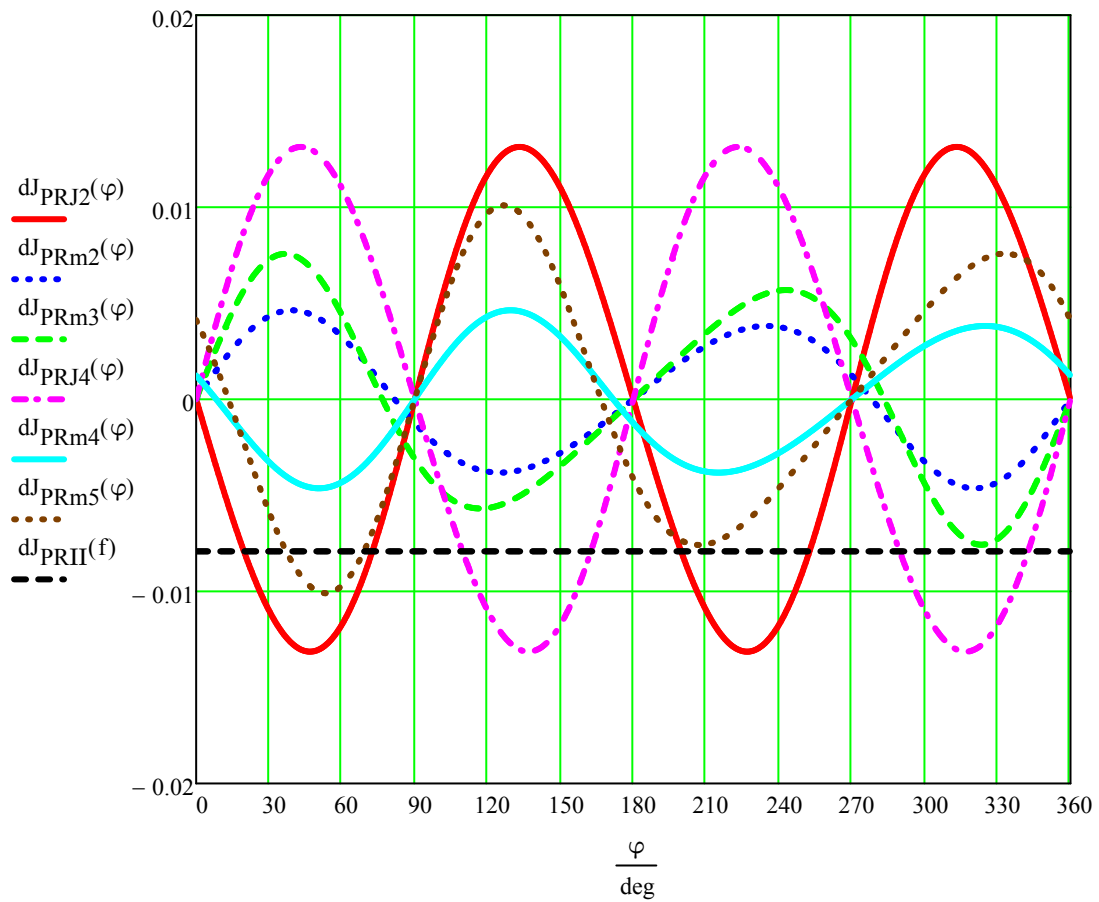
$$dJ_{PRJ4}(\varphi) := 2 \cdot J_{4S} \cdot \omega_{q4}(\varphi) \cdot \varepsilon_{q4}(\varphi)$$

$$dJ_{PRM4}(\varphi) := 2 \cdot m_4 \cdot (V_{qS4x}(\varphi) \cdot a_{qS4x}(\varphi) + V_{qS4y}(\varphi) \cdot a_{qS4y}(\varphi))$$

$$dJ_{PRM5}(\varphi) := 2 \cdot m_4 \cdot V_{qCx}(\varphi) \cdot a_{qCx}(\varphi)$$

$$dJ_{PRII}(\varphi) := dJ_{PRJ2}(\varphi) + dJ_{PRM2}(\varphi) + dJ_{PRM3}(\varphi) + dJ_{PRJ4}(\varphi) + dJ_{PRM4}(\varphi) + dJ_{PRM5}(\varphi)$$

$$dJ_{PRII}(f) = -7.919 \times 10^{-3}$$



3.2 Приведение сил

3.2.1. Рассчитаем силу давления сжимаемого газа на поршень дизель-воздуходувной установки

3.2.2. Построим индикаторные диаграммы

$$\begin{array}{l}
\text{sdn2} := \begin{pmatrix} 0 \\ 0.1 \\ 0.2 \\ 0.3 \\ 0.4 \\ 0.5 \\ 0.6 \\ 0.7 \\ 0.8 \\ 0.9 \\ 1 \end{pmatrix} \\
\text{p}_{\text{ВНИЗ2}} := \begin{pmatrix} 1 \\ 0.52 \\ 0.3 \\ 0.3 \\ 0.3 \\ 0.3 \\ 0.3 \\ 0.3 \\ 0.3 \\ 0.3 \\ 0.3 \end{pmatrix} \\
\text{p}_{\text{ВВЕРХ2}} := \begin{pmatrix} 1 \\ 1 \\ 1 \\ 0.75 \\ 0.67 \\ 0.58 \\ 0.52 \\ 0.47 \\ 0.41 \\ 0.35 \\ 0.3 \end{pmatrix} \\
\text{sdn1} := \begin{pmatrix} 0 \\ 0.1 \\ 0.2 \\ 0.3 \\ 0.4 \\ 0.5 \\ 0.6 \\ 0.7 \\ 0.8 \\ 0.9 \\ 1 \end{pmatrix} \\
\text{p}_{\text{ВНИЗ1}} := \begin{pmatrix} 1 \\ 0.33 \\ 0 \\ 0 \\ 0 \\ 0 \\ 0 \\ 0 \\ 0 \\ 0 \\ 0 \end{pmatrix} \\
\text{p}_{\text{ВВЕРХ1}} := \begin{pmatrix} 1 \\ 1 \\ 1 \\ 0.58 \\ 0.46 \\ 0.28 \\ 0.26 \\ 0.16 \\ 0.08 \\ 0.04 \\ 0 \end{pmatrix}
\end{array}$$

$$V_{\text{pdn1}} := \text{lspline}(\text{sdn1}, \text{p}_{\text{ВНИЗ1}}) \quad V_{\text{pup1}} := \text{lspline}(\text{sdn1}, \text{p}_{\text{ВВЕРХ1}})$$

$$pu1(s1) := \begin{cases} 0 & \text{if } s1 > 1 \\ \text{interp}(V_{\text{pup1}}, \text{sdn1}, \text{p}_{\text{ВВЕРХ1}}, s1) & \text{if } s1 \leq 1 \end{cases}$$

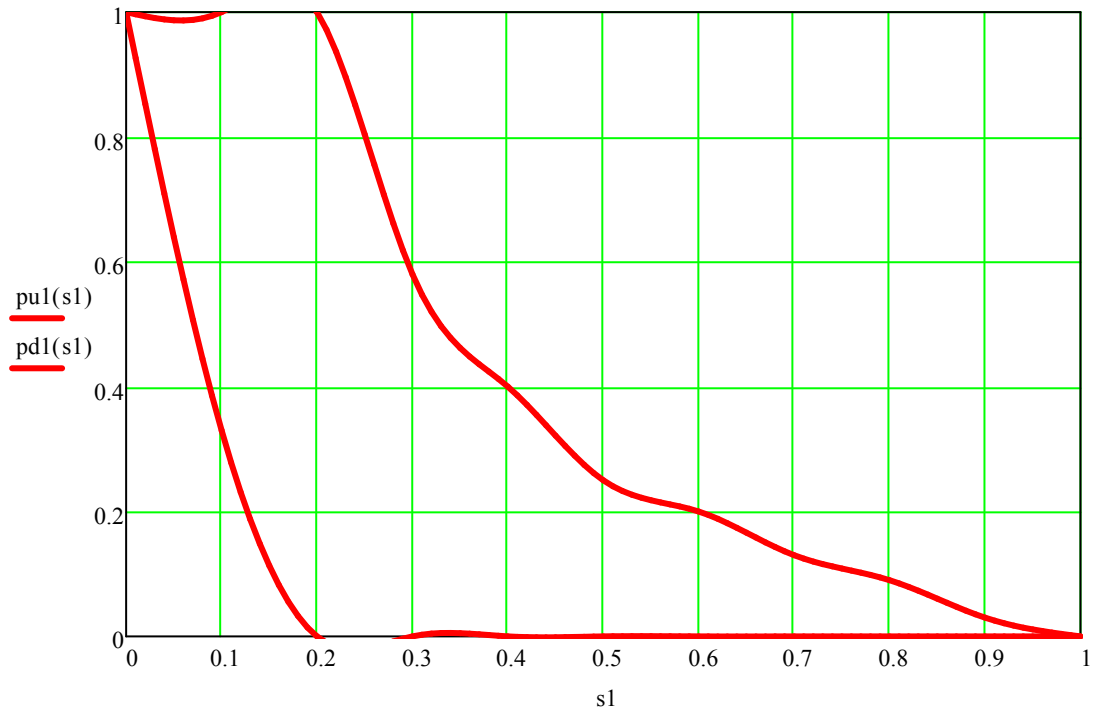
$$pd1(s1) := \text{interp}(V_{\text{pdn1}}, \text{sdn1}, \text{p}_{\text{ВНИЗ1}}, s1)$$

$$V_{\text{pdn2}} := \text{lspline}(\text{sdn2}, \text{p}_{\text{ВНИЗ2}}) \quad V_{\text{pup2}} := \text{lspline}(\text{sdn2}, \text{p}_{\text{ВВЕРХ2}})$$

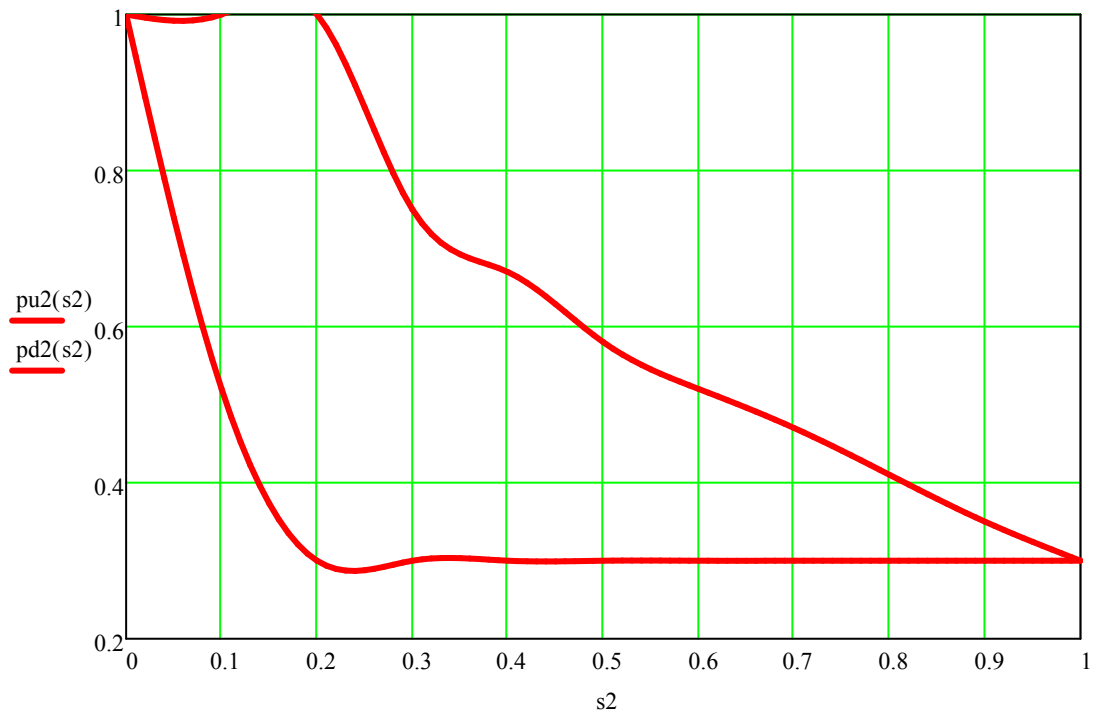
$$pu2(s2) := \begin{cases} 0 & \text{if } s2 > 1 \\ \text{interp}(V_{\text{pup2}}, \text{sdn2}, \text{p}_{\text{ВВЕРХ2}}, s2) & \text{if } s2 \leq 1 \end{cases}$$

$$pd2(s2) := \text{interp}(V_{\text{pdn2}}, \text{sdn2}, \text{p}_{\text{ВНИЗ2}}, s2)$$

$s1 := 0, .01.. 1$



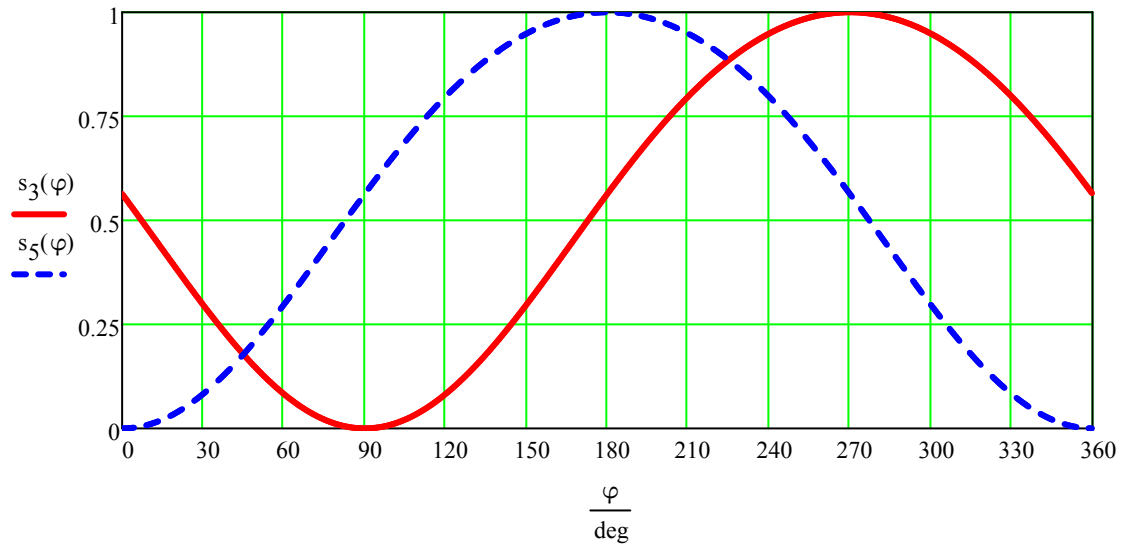
$s2 := 0, .01.. 1$



3.2.3. Построим зависимость относительного перемещения поршня от угла поворота коленчатого вала:

$$s_5(\varphi) := \frac{l_1 + l_2 - Y_B(\varphi)}{2 \cdot l_1}$$

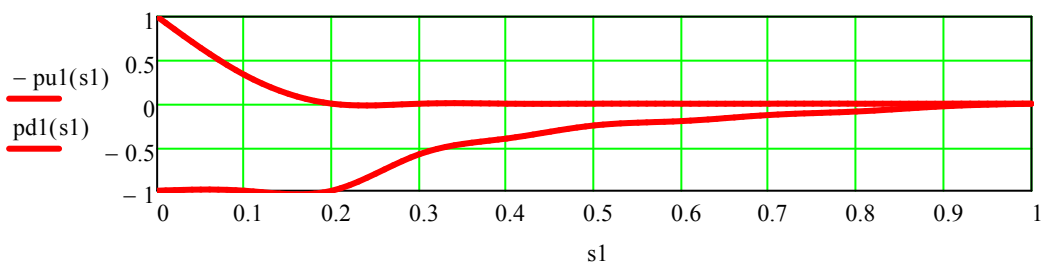
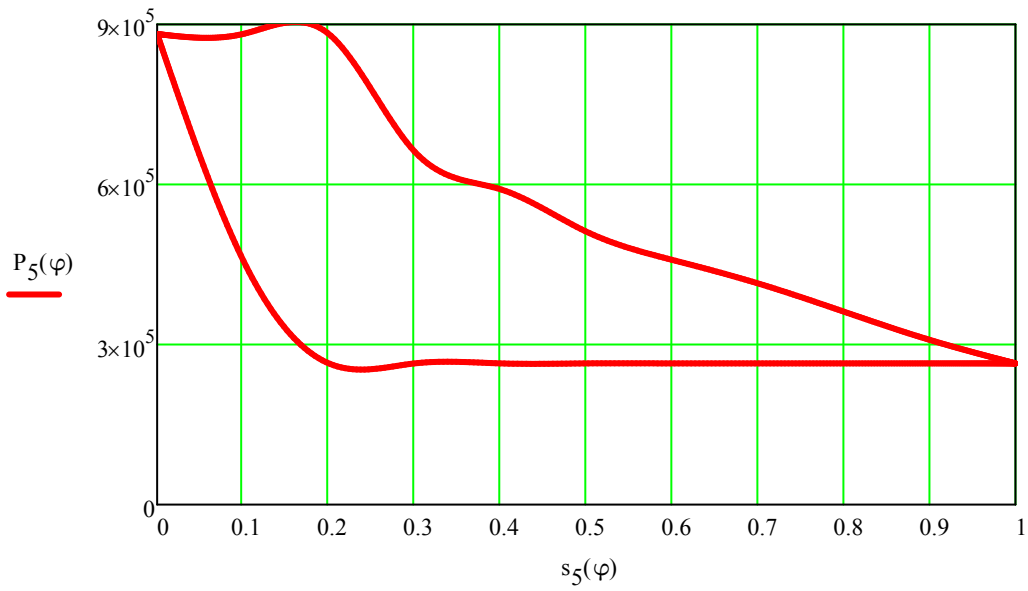
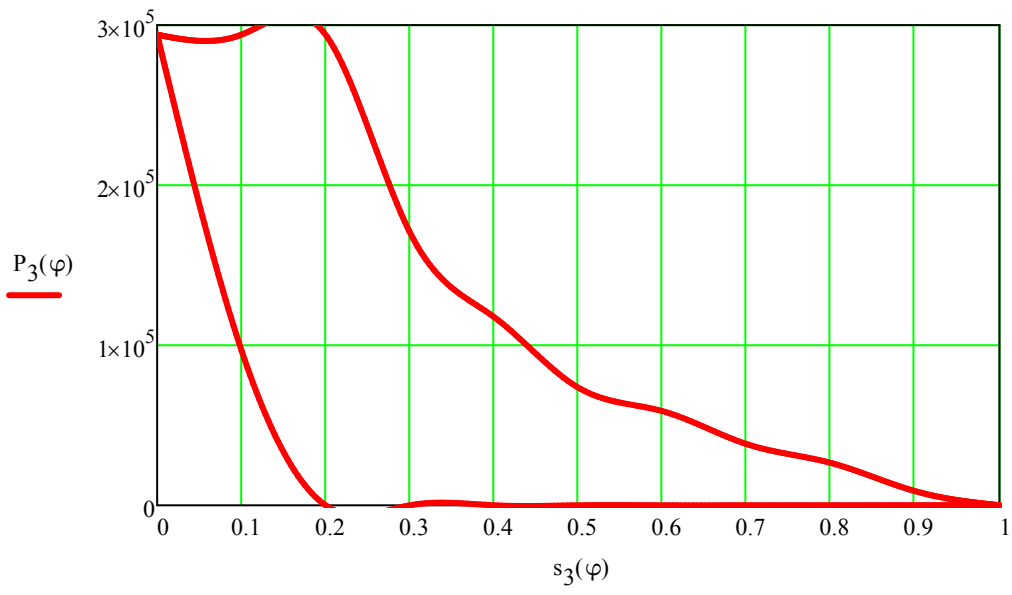
$$s_3(\varphi) := \frac{l_1 + l_4 - X_C(\varphi)}{2 \cdot l_1}$$

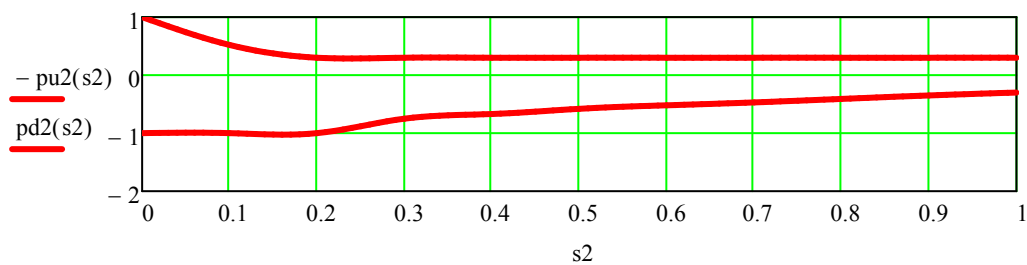


3.2.4. Построим зависимость давления в цилиндре двигателя от перемещения поршня:

$$P_3(\varphi) := \begin{cases} pu1(s_3(\varphi)) \cdot P_{\max 1} \cdot 10^6 & \text{if } V_{qC_x}(\varphi) > 0 \\ pd1(s_3(\varphi)) \cdot P_{\max 1} \cdot 10^6 & \text{otherwise} \end{cases}$$

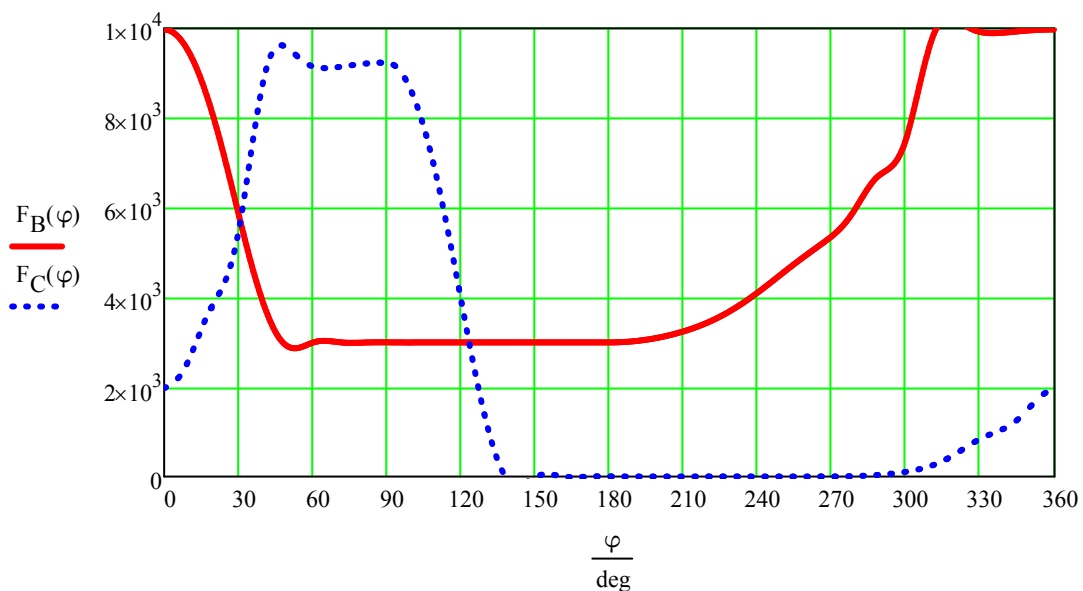
$$P_5(\varphi) := \begin{cases} pu2(s_5(\varphi)) \cdot P_{\max 2} \cdot 10^6 & \text{if } V_{qB_y}(\varphi) > 0 \\ pd2(s_5(\varphi)) \cdot P_{\max 2} \cdot 10^6 & \text{otherwise} \end{cases}$$





3.2.5. Построим зависимость силы действующей на поршень от угла поворта кривошипа:

$$F_B(\varphi) := P_5(\varphi) \cdot \pi \cdot \frac{d_2^2}{4} \quad F_C(\varphi) := P_3(\varphi) \cdot \pi \cdot \frac{d_1^2}{4}$$



3.2.6. Рассчитаем приведенные моменты сопротивления:

$$V_{qS2pr}(\varphi) := V_{qS2x}(\varphi) \cdot \sin(\varphi) + V_{qS2y}(\varphi) \cdot \cos(\varphi)$$

$$V_{qS4ypr}(\varphi) := V_{qS4x}(\varphi) \cdot \sin(\varphi) + V_{qS4y}(\varphi) \cdot \cos(\varphi)$$

$$V_{qCpr}(\varphi) := V_{qCx}(\varphi) \cdot \sin(\varphi) + V_{qCy}(\varphi) \cdot \cos(\varphi)$$

$$V_{qBpr}(\varphi) := V_{qBx}(\varphi) \cdot \sin(\varphi) + V_{qBy}(\varphi) \cdot \cos(\varphi)$$

$$f := 120\text{deg}$$

$$F_B(f) = 2.993 \times 10^3$$

$$F_C(f) = 3.957 \times 10^3$$

$$M_{\text{PRFB}}(\varphi) := -F_B(\varphi) \cdot V_{qBy}(\varphi)$$

$$M_{\text{PRFB}}(f) = 225.981$$

$$M_{\text{PRFC}}(\varphi) := -F_C(\varphi) \cdot V_{qCx}(\varphi)$$

$$M_{\text{PRFC}}(f) = 241.04$$

$$M_{\text{PRG2}}(\varphi) := m_2 \cdot g \cdot V_{qS2pr}(\varphi)$$

$$M_{\text{PRG2}}(f) = 0.089$$

$$M_{\text{PRG4}}(\varphi) := m_4 \cdot g \cdot V_{qS4ypr}(\varphi)$$

$$M_{\text{PRG4}}(f) = -0.124$$

$$M_{\text{PRG3}}(\varphi) := m_3 \cdot g \cdot V_{qBpr}(\varphi)$$

$$M_{\text{PRG3}}(f) = 0.222$$

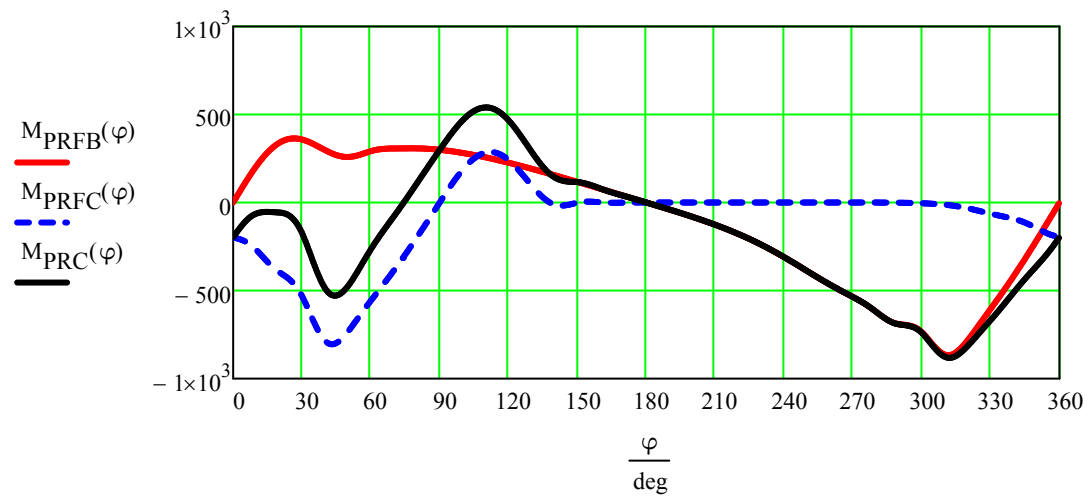
$$M_{\text{PRG5}}(\varphi) := m_5 \cdot g \cdot V_{qCpr}(\varphi)$$

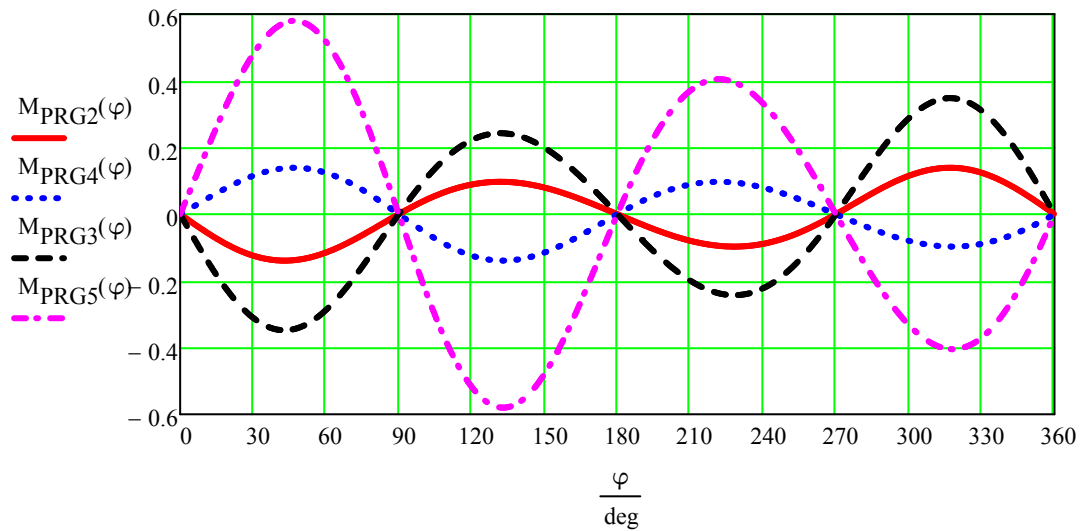
$$M_{\text{PRG5}}(f) = -0.517$$

$$M_{\text{PRC}}(\varphi) := M_{\text{PRFB}}(\varphi) + M_{\text{PRFC}}(\varphi) + M_{\text{PRG2}}(\varphi) + M_{\text{PRG4}}(\varphi) + M_{\text{PRG3}}(\varphi) + M_{\text{PRG5}}(\varphi)$$

$$\varphi := 0, .01.. 2 \cdot \pi$$

$$M_{\text{PRC}}(f) = 466.69$$





3.2.7. Рассчитаем приведенный момент движущих сил:

Вычислим работу сил сопротивления за цикл:

$$A_C := \int_0^{2\pi} M_{PRC}(\varphi) d\varphi \quad A_C = -1.204 \times 10^3$$

Найдем приведенный движущий момент:

$$M_{PRD} := \frac{-A_C}{2 \cdot \pi} \quad M_{PRD} = 191.6$$

Вычислим приведенный сумарный момент:

$$M_{\Sigma PR}(\varphi) := M_{PRD} + M_{PRC}(\varphi)$$

Интерполяция:

$$n := 1000$$

$$i := 0..n$$

$$\delta\varphi := 2 \cdot \frac{\pi}{n - 2}$$

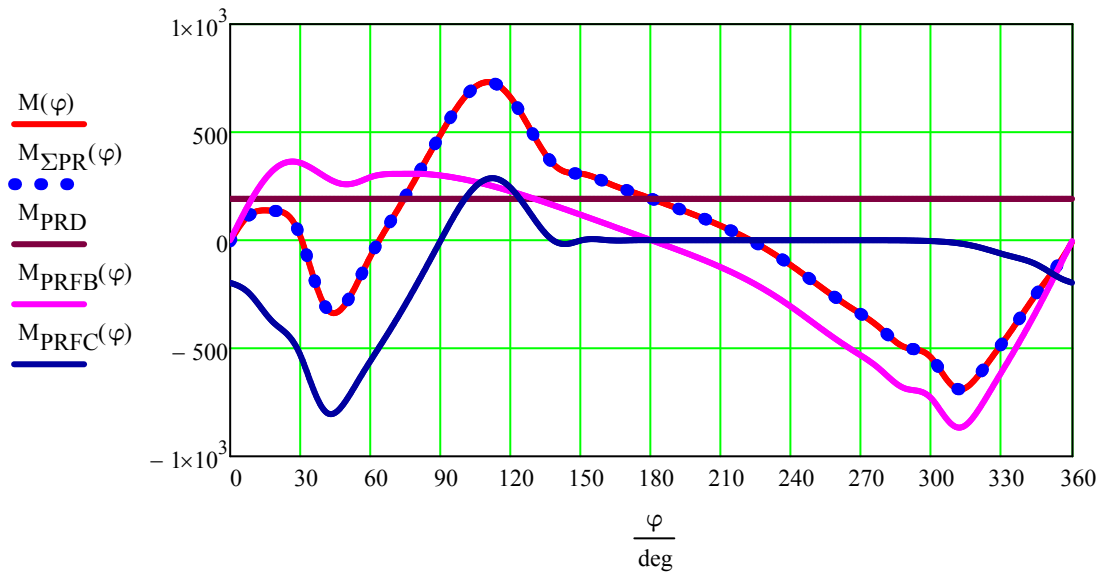
$$v\varphi_i := \delta\varphi \cdot (i - 1)$$

$$M1_i := M_{\Sigma PR}(v\varphi_i)$$

$$Ms := \text{Ispline}(v\varphi, M1)$$

$$M(\varphi) := \text{interp}(M_s, v\varphi, M1, \varphi)$$

$$\varphi := 0, .01..2\pi$$



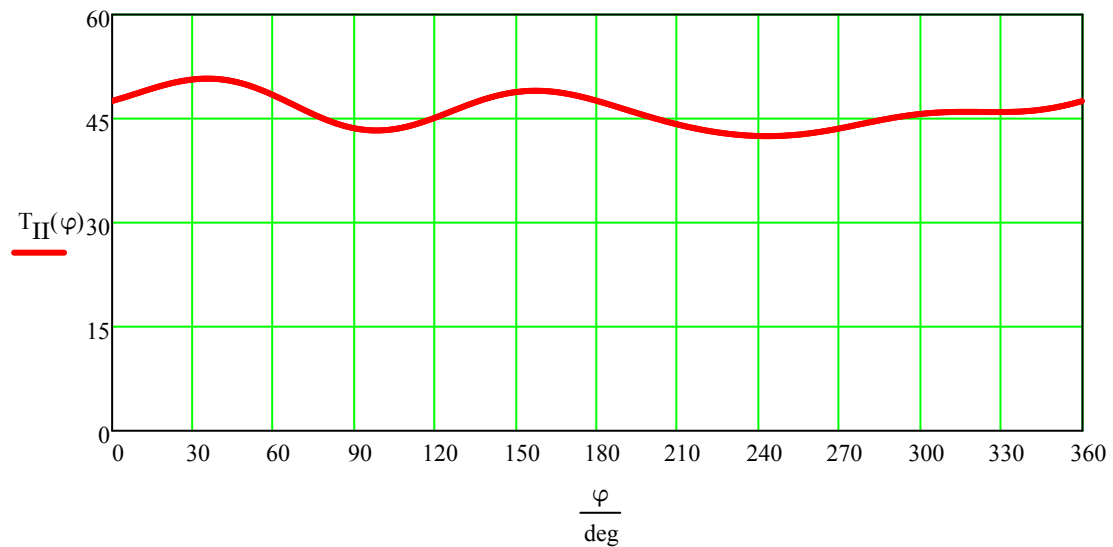
4. Рассчитаем момент инерции первой группы звеньев:

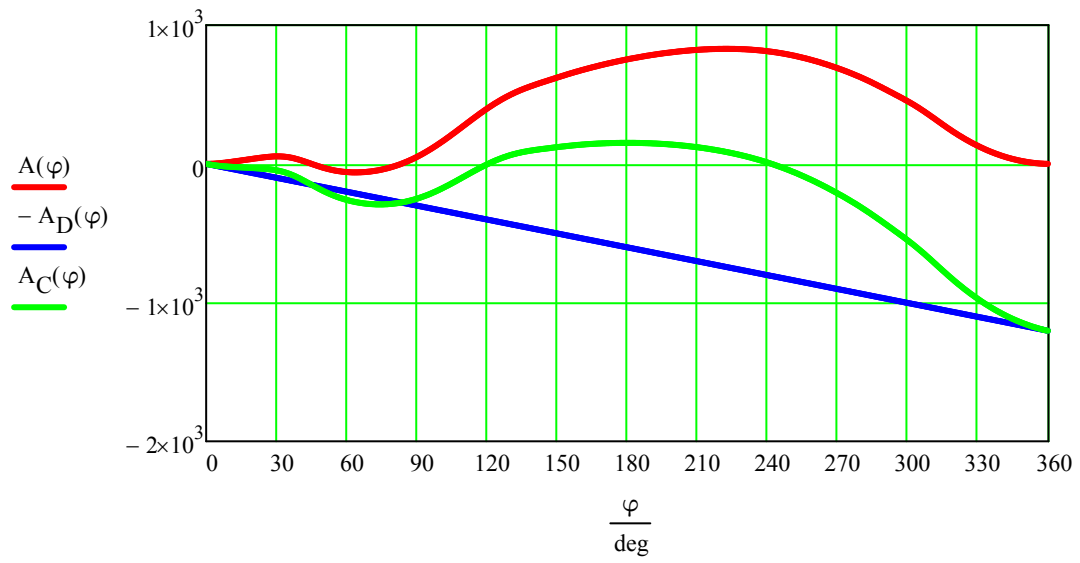
4.1.1. Вычислим работу суммарного момента:

$$A(\varphi) := \int_0^\varphi M(\varphi) d\varphi \quad A_G(\varphi) := \int_0^\varphi M_{PRC}(\varphi) d\varphi \quad A_D(\varphi) := \int_0^\varphi M_{PRD} d\varphi$$

Определим кинетическую энерги. второй группы звеньев:

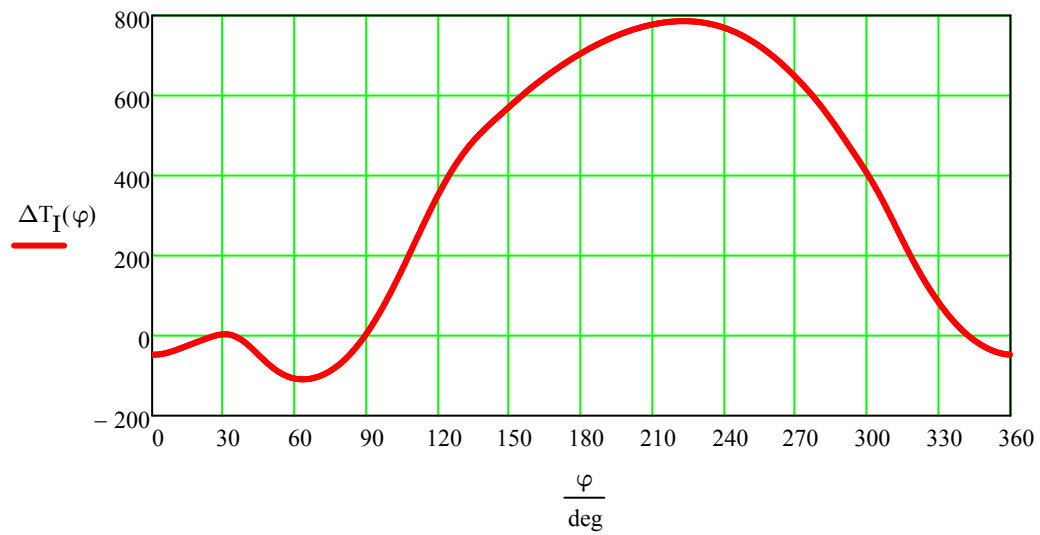
$$T_{II}(\varphi) := J_{PRII}(\varphi) \cdot \frac{\omega_{1cp}^2}{2} \quad \omega_{1cp} = 62.832$$





Определим изменения кинетической энергии первой группы звеньев:

$$\Delta T_I(\varphi) := A(\varphi) - T_{II}(\varphi)$$



Рассчитаем наибольшее изменение кинетической энергии первой группы звеньев:

$$ff := 30\text{deg}$$

Given

$$ffmin := \text{Minimize}(\Delta T_I, ff)$$

$$\frac{ffmin}{\text{deg}} = 0.66$$

$$T_{Imin} := \Delta T_I(ffmin)$$

$$T_{Imin} = -47.611$$

$$ff1 := 120\text{deg}$$

Given

$$ff1max := \text{Maximize}(\Delta T_I, ff1)$$

$$\frac{ff1max}{\text{deg}} = 222.98$$

$$T_{Imax} := \Delta T_I(ff1max)$$

$$T_{Imax} = 785.896$$

$$\Delta T_{нб} := T_{Imax} - T_{Imin}$$

$$\Delta T_{нб} = 833.507$$

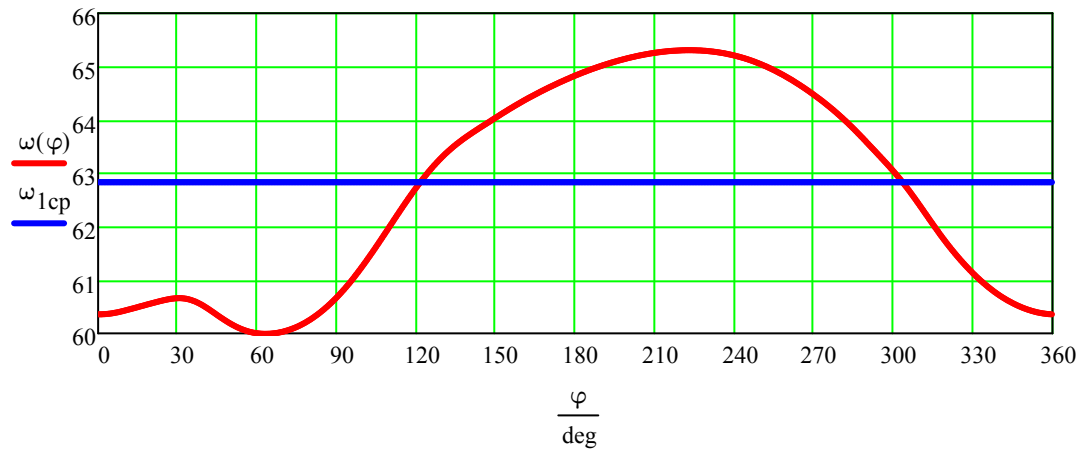
$$J_I := 2.68$$

$$\Delta\omega(\varphi) := \frac{\left[\Delta T_I(\varphi) - \frac{(T_{I\max} + T_{I\min})}{2} \right]}{\omega_{1cp} \cdot J_I}$$

$$\omega(\varphi) := \omega_{1cp} + \Delta\omega(\varphi)$$

$$\omega_{1cp} = 62.832$$

$$\varphi := 0, .01..2\pi$$



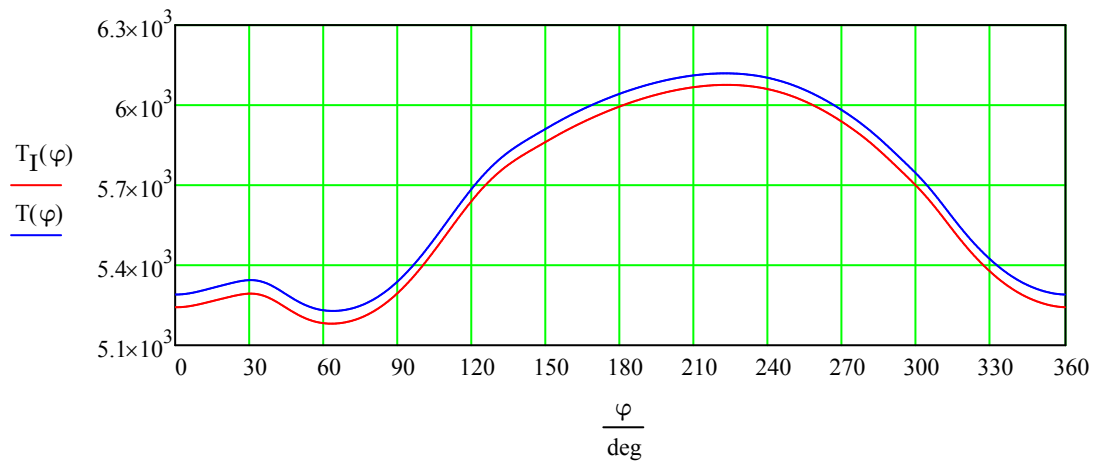
$$T_0 := J_I \cdot \frac{\omega_{1cp}^2}{2}$$

$$T_I(\varphi) := T_0 + \Delta T_I(\varphi)$$

$$\tilde{T}(\varphi) := T_I(\varphi) + T_{II}(\varphi)$$

$$\tilde{T}(\varphi) := T_0 + A(\varphi)$$

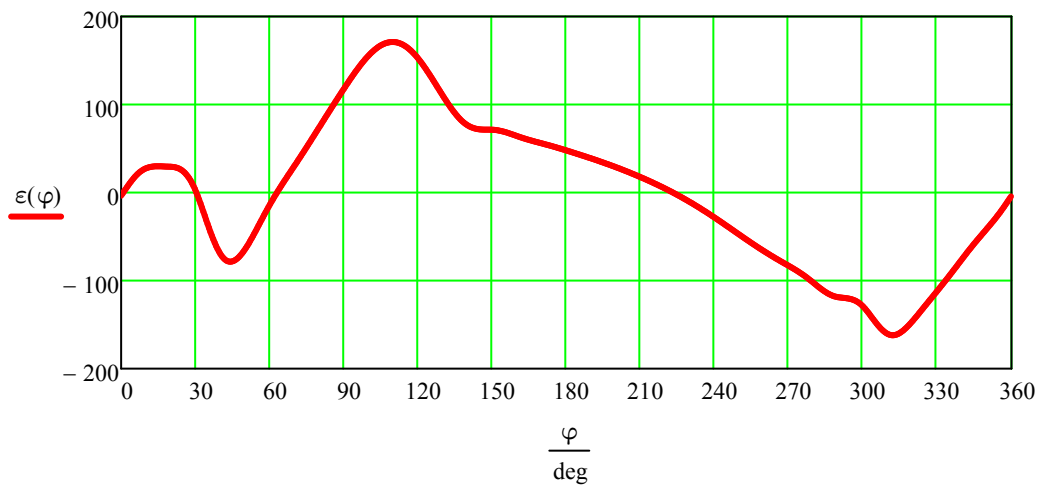
$$T_0 = 5.29 \times 10^3$$



$$J_{PRI} := \frac{\Delta T_{H\bar{6}}}{\omega_{1cp}^2 \cdot \delta_1}$$

Построим график углового ускорения:

$$\varepsilon(\varphi) := \left(\frac{M_{\Sigma PR}(\varphi)}{J_{PRI}(\varphi) + J_{PRI}} \right) - \frac{\omega(\varphi)^2 \cdot dJ_{PRI}(\varphi)}{2 \cdot (J_{PRI}(\varphi) + J_{PRI})}$$



Определение истинных значений скоростей и ускорений:

$$f := 120 \text{deg}$$

$$\omega_1(\varphi) := \omega(\varphi) \cdot \left(\frac{d}{d\varphi} \varphi_1(\varphi) \right)$$

$$\omega_1(f) = -62.732$$

$$\omega_2(\varphi) := \omega_{q2}(\varphi) \cdot \omega(\varphi)$$

$$\omega_2(f) = -8.032$$

$$\omega_4(\varphi) := \omega_{q4}(\varphi) \cdot \omega(\varphi)$$

$$\omega_4(f) = 13.689$$

$$\varepsilon(f) = 152.592$$

$$\varepsilon_2(\varphi) := \varepsilon_{q2}(\varphi) \cdot \omega(\varphi)^2 + \omega_{q2}(\varphi) \cdot \varepsilon(\varphi)$$

$$\varepsilon_2(f) = -877.936$$

$$\varepsilon_4(\varphi) := \varepsilon_{q4}(\varphi) \cdot \omega(\varphi)^2 + \omega_{q4}(\varphi) \cdot \varepsilon(\varphi)$$

$$\varepsilon_4(f) = -438.887$$

$$V_A(\varphi) := l_1 \cdot \omega(\varphi)$$

$$V_A(f) = 6.273$$

$$V_B(\varphi) := V_{qB}(\varphi) \cdot \omega(\varphi)$$

$$V_B(f) = 4.737$$

$$V_{S2}(\varphi) := V_{qS2}(\varphi) \cdot \omega(\varphi)$$

$$V_{S2}(f) = 5.667$$

$$V_C(\varphi) := V_{qC}(\varphi) \cdot \omega(\varphi)$$

$$V_C(f) = 3.821$$

$$V_{S4}(\varphi) := V_{qS4}(\varphi) \cdot \omega(\varphi)$$

$$V_{S4}(f) = 5.063$$

$$a_{Ax}(\varphi) := a_{qAx}(\varphi) \cdot \omega(\varphi)^2 + V_{qAx}(\varphi) \cdot \varepsilon(\varphi)$$

$$a_{Ay}(\varphi) := a_{qAy}(\varphi) \cdot \omega(\varphi)^2 + V_{qAy}(\varphi) \cdot \varepsilon(\varphi)$$

$$a_A(\varphi) := \sqrt{a_{Ax}(\varphi)^2 + a_{Ay}(\varphi)^2}$$

$$a_A(f) = 393.82$$

$$a_{Bx}(\varphi) := a_{qBx}(\varphi) \cdot \omega(\varphi)^2 + V_{qBx}(\varphi) \cdot \varepsilon(\varphi)$$

$$a_{By}(\varphi) := a_{qBy}(\varphi) \cdot \omega(\varphi)^2 + V_{qBy}(\varphi) \cdot \varepsilon(\varphi)$$

$$a_B(\varphi) := \sqrt{a_{Bx}(\varphi)^2 + a_{By}(\varphi)^2}$$

$$a_B(f) = 234.386$$

$$a_{Cx}(\varphi) := a_{qCx}(\varphi) \cdot \omega(\varphi)^2 + V_{qCx}(\varphi) \cdot \varepsilon(\varphi)$$

$$a_{Cy}(\varphi) := a_{qCy}(\varphi) \cdot \omega(\varphi)^2 + V_{qCy}(\varphi) \cdot \varepsilon(\varphi)$$

$$a_C(\varphi) := \sqrt{a_{Cx}(\varphi)^2 + a_{Cy}(\varphi)^2}$$

$$a_C(f) = 400.857$$

$$a_{S2x}(\varphi) := a_{qS2x}(\varphi) \cdot \omega(\varphi)^2 + V_{qS2x}(\varphi) \cdot \varepsilon(\varphi)$$

$$a_{S2y}(\varphi) := a_{qS2y}(\varphi) \cdot \omega(\varphi)^2 + V_{qS2y}(\varphi) \cdot \varepsilon(\varphi)$$

$$a_{S2}(\varphi) := \sqrt{a_{S2x}(\varphi)^2 + a_{S2y}(\varphi)^2}$$

$$a_{S2}(f) = 314.658$$

$$a_{S4x}(\varphi) := a_{qS4x}(\varphi) \cdot \omega(\varphi)^2 + V_{qS4x}(\varphi) \cdot \varepsilon(\varphi)$$

$$a_{S4y}(\varphi) := a_{qS4y}(\varphi) \cdot \omega(\varphi)^2 + V_{qS4y}(\varphi) \cdot \varepsilon(\varphi)$$

$$a_{S4}(\varphi) := \sqrt{a_{S4x}(\varphi)^2 + a_{S4y}(\varphi)^2}$$

$$a_{S4}(f) = 386.161$$

$\varphi := 0,30..360$

| $\varphi =$ | $V_{qB}(\varphi) =$ | $\omega_{q2}(\varphi) =$ | $V_{qS2}(\varphi) = V_{qC}(\varphi) =$ | $\omega_{q2}(\varphi) =$ | $V_{qS2}(\varphi) =$ |
|-------------|-----------------------|--------------------------|--|--------------------------|----------------------|
| 0 | 0 | 0.25 | 0.07 | 0.1 | 0.07 |
| 30 | 0.103 | 0.04 | 0.101 | 0.012 | 0.101 |
| 60 | 0.023 | -0.239 | 0.072 | 0.088 | 0.072 |
| 90 | 0.079 | -0.115 | 0.092 | 0.055 | 0.092 |
| 120 | 0.07 | 0.206 | 0.084 | 0.093 | 0.084 |
| 150 | 0.084 | 0.178 | 0.09 | 0.057 | 0.09 |
| 180 | 0.068 | -0.153 | 0.087 | 0.048 | 0.087 |
| 210 | 0.036 | -0.222 | 0.076 | 0.099 | 0.076 |
| 240 | 0.102 | 0.084 | 0.1 | 0.04 | 0.1 |
| 270 | 0.022 | 0.246 | 0.071 | 0.094 | 0.071 |
| 300 | 0.099 | $-5.705 \cdot 10^{-3}$ | 0.1 | $1.657 \cdot 10^{-3}$ | 0.1 |
| 330 | $9.956 \cdot 10^{-3}$ | -0.248 | 0.07 | 0.096 | 0.07 |
| 360 | 0.089 | -0.073 | 0.096 | 0.035 | 0.096 |

Второй цилиндр:

| $\varphi =$ | $F_B(\varphi) =$ | $V_{qB}(\varphi) =$ | $M_{PRFB}(\varphi) =$ |
|-------------|--------------------|-----------------------|-----------------------|
| 0 | $9.975 \cdot 10^3$ | 0 | 0 |
| 30 | $5.924 \cdot 10^3$ | 0.103 | -608.632 |
| 60 | $3.078 \cdot 10^3$ | 0.023 | -71.414 |
| 90 | $2.993 \cdot 10^3$ | 0.079 | 236.794 |
| 120 | $4.696 \cdot 10^3$ | 0.07 | 328.719 |
| 150 | $1.016 \cdot 10^4$ | 0.084 | -855.582 |
| 180 | $3.844 \cdot 10^3$ | 0.068 | -260.906 |
| 210 | $2.993 \cdot 10^3$ | 0.036 | 108.826 |
| 240 | $2.996 \cdot 10^3$ | 0.102 | 307.031 |
| 270 | $9.955 \cdot 10^3$ | 0.022 | -218.417 |
| 300 | $5.309 \cdot 10^3$ | 0.099 | -527.699 |
| 330 | $3.008 \cdot 10^3$ | $9.956 \cdot 10^{-3}$ | -29.95 |
| 360 | $2.993 \cdot 10^3$ | 0.089 | 265.998 |

Первый цилиндр:

| $\varphi =$ | $F_C(\varphi) =$ | $V_{qC}(\varphi) =$ | $M_{PRFC}(\varphi) =$ |
|-------------|-----------------------|-----------------------|-----------------------|
| 0 | $1.972 \cdot 10^3$ | 0.1 | -197.218 |
| 30 | 8.183 | 0.012 | -0.095 |
| 60 | 0.129 | 0.088 | 0.011 |
| 90 | $4.945 \cdot 10^3$ | 0.055 | 271.392 |
| 120 | $7.357 \cdot 10^3$ | 0.093 | -687.83 |
| 150 | 335.742 | 0.057 | -19.215 |
| 180 | 0.019 | 0.048 | $8.968 \cdot 10^{-4}$ |
| 210 | 35.144 | 0.099 | 3.479 |
| 240 | $9.14 \cdot 10^3$ | 0.04 | -368.374 |
| 270 | $1.538 \cdot 10^3$ | 0.094 | -144.493 |
| 300 | $5.477 \cdot 10^{-5}$ | $1.657 \cdot 10^{-3}$ | $9.078 \cdot 10^{-8}$ |
| 330 | -0.936 | 0.096 | -0.09 |
| 360 | $7.505 \cdot 10^3$ | 0.035 | 264.065 |

| $\varphi =$ | $M_{\Sigma PR}(\varphi) =$ | $A(\varphi) =$ |
|-------------|----------------------------|-----------------------|
| 0 | -5.618 | 0 |
| 30 | -417.136 | $6.727 \cdot 10^8$ |
| 60 | 120.341 | $1.771 \cdot 10^{10}$ |
| 90 | 699.481 | $1.045 \cdot 10^{11}$ |
| 120 | -167.321 | $3.557 \cdot 10^{11}$ |
| 150 | -683.211 | $9.074 \cdot 10^{11}$ |
| 180 | -69.175 | $1.937 \cdot 10^{12}$ |
| 210 | 303.606 | $3.664 \cdot 10^{12}$ |
| 240 | 130.445 | $6.347 \cdot 10^{12}$ |
| 270 | -171.334 | $1.029 \cdot 10^{13}$ |
| 300 | -336.097 | $1.583 \cdot 10^{13}$ |
| 330 | 161.633 | $2.336 \cdot 10^{13}$ |
| 360 | 721.459 | $3.33 \cdot 10^{13}$ |

$$\varphi = \quad J_{PRm2}(\varphi) = \quad J_{PRm3}(\varphi) = \quad J_{PRm4}(\varphi) = \quad J_{PRm5}(\varphi) = \quad J_{PRJ2}(\varphi) =$$

| | | | | | |
|-----|-----------------------|-----------------------|-----------------------|-----------------------|-----------------------|
| 0 | $1.96 \cdot 10^{-3}$ | 0 | $4 \cdot 10^{-3}$ | $5 \cdot 10^{-3}$ | 0.013 |
| 30 | $4.045 \cdot 10^{-3}$ | $3.166 \cdot 10^{-3}$ | $1.995 \cdot 10^{-3}$ | $6.742 \cdot 10^{-5}$ | $3.326 \cdot 10^{-4}$ |
| 60 | $2.098 \cdot 10^{-3}$ | $1.615 \cdot 10^{-4}$ | $3.642 \cdot 10^{-3}$ | $3.852 \cdot 10^{-3}$ | 0.012 |
| 90 | $3.374 \cdot 10^{-3}$ | $1.878 \cdot 10^{-3}$ | $2.482 \cdot 10^{-3}$ | $1.506 \cdot 10^{-3}$ | $2.774 \cdot 10^{-3}$ |
| 120 | $2.819 \cdot 10^{-3}$ | $1.47 \cdot 10^{-3}$ | $3.553 \cdot 10^{-3}$ | $4.37 \cdot 10^{-3}$ | $8.888 \cdot 10^{-3}$ |
| 150 | $3.226 \cdot 10^{-3}$ | $2.126 \cdot 10^{-3}$ | $2.75 \cdot 10^{-3}$ | $1.638 \cdot 10^{-3}$ | $6.629 \cdot 10^{-3}$ |
| 180 | $3.04 \cdot 10^{-3}$ | $1.382 \cdot 10^{-3}$ | $2.522 \cdot 10^{-3}$ | $1.139 \cdot 10^{-3}$ | $4.897 \cdot 10^{-3}$ |
| 210 | $2.293 \cdot 10^{-3}$ | $3.967 \cdot 10^{-4}$ | $3.783 \cdot 10^{-3}$ | $4.899 \cdot 10^{-3}$ | 0.01 |
| 240 | $3.966 \cdot 10^{-3}$ | $3.15 \cdot 10^{-3}$ | $2.239 \cdot 10^{-3}$ | $8.122 \cdot 10^{-4}$ | $1.475 \cdot 10^{-3}$ |
| 270 | $2.042 \cdot 10^{-3}$ | $1.444 \cdot 10^{-4}$ | $3.832 \cdot 10^{-3}$ | $4.415 \cdot 10^{-3}$ | 0.013 |
| 300 | $3.985 \cdot 10^{-3}$ | $2.964 \cdot 10^{-3}$ | $1.961 \cdot 10^{-3}$ | $1.373 \cdot 10^{-6}$ | $6.835 \cdot 10^{-6}$ |
| 330 | $1.986 \cdot 10^{-3}$ | $2.974 \cdot 10^{-5}$ | $3.884 \cdot 10^{-3}$ | $4.582 \cdot 10^{-3}$ | 0.013 |
| 360 | $3.676 \cdot 10^{-3}$ | $2.37 \cdot 10^{-3}$ | $2.172 \cdot 10^{-3}$ | $6.191 \cdot 10^{-4}$ | $1.121 \cdot 10^{-3}$ |

$$J_{PRJ4}(\varphi) = \quad J_{PRII}(\varphi) =$$

| | |
|-----------------------|-------|
| 0 | 0.024 |
| 0.013 | 0.022 |
| $1.293 \cdot 10^{-3}$ | 0.023 |
| 0.011 | 0.023 |
| $4.616 \cdot 10^{-3}$ | 0.026 |
| $6.919 \cdot 10^{-3}$ | 0.023 |
| $8.617 \cdot 10^{-3}$ | 0.022 |
| $3.019 \cdot 10^{-3}$ | 0.025 |
| 0.012 | 0.023 |
| $4.33 \cdot 10^{-4}$ | 0.024 |
| 0.013 | 0.022 |
| $2.451 \cdot 10^{-4}$ | 0.024 |
| 0.012 | 0.022 |

| $\varphi =$ | $T_{II}(\varphi) =$ | $\omega(\varphi) =$ |
|-------------|---------------------|-----------------------|
| 0 | 47.542 | 60.357 |
| 30 | 44.292 | $3.995 \cdot 10^6$ |
| 60 | 45.441 | $1.051 \cdot 10^8$ |
| 90 | 44.683 | $6.204 \cdot 10^8$ |
| 120 | 50.762 | $2.112 \cdot 10^9$ |
| 150 | 45.97 | $5.389 \cdot 10^9$ |
| 180 | 42.63 | $1.15 \cdot 10^{10}$ |
| 210 | 48.926 | $2.176 \cdot 10^{10}$ |
| 240 | 46.294 | $3.769 \cdot 10^{10}$ |
| 270 | 46.603 | $6.11 \cdot 10^{10}$ |
| 300 | 43.501 | $9.402 \cdot 10^{10}$ |
| 330 | 46.656 | $1.387 \cdot 10^{11}$ |
| 360 | 43.601 | $1.978 \cdot 10^{11}$ |

Найдем момент инерции маховика:

$$J_{\text{доп}} := J_{\text{PRI}} - J_{10} - J_{\text{ред}} \quad J_{\text{доп}} = 3.548 \quad J_{\text{PRI}} = 4.223$$

Определим размеры и массу маховика в виде сплошного диска:

$$D_{\text{MX}} := 0.366 \cdot \sqrt[5]{J_{\text{доп}}} \quad D_{\text{MX}} = 0.471$$
$$m_{\text{MX}} := \frac{8 \cdot J_{\text{доп}}}{(D_{\text{MX}})^2} \quad m_{\text{MX}} = 127.67$$
$$b := 0.2 \cdot D_{\text{MX}} \quad b = 0.094$$

Определим размеры и массу маховика в виде обода:

$$D_{\text{MXc}} := 0.406 \cdot \sqrt[5]{J_{\text{доп}}} \quad D_{\text{MXc}} = 0.523$$
$$b_{\text{MXc}} := 0.2 \cdot D_{\text{MXc}} \quad b_{\text{MXc}} = 0.105$$
$$D_{\text{MX1}} := 0.8 \cdot D_{\text{MXc}} \quad D_{\text{MX1}} = 0.418$$
$$m_{\text{MXc}} := 6123 \cdot [(D_{\text{MXc}})^2 - (D_{\text{MX1}})^2] \cdot b_{\text{MXc}} \quad m_{\text{MXc}} = 63.072$$

